

# Study of the Immune Adjuvant Effect of Chitin Microparticles on Plasma Levels of IgG1 and IgG2a during Immunization against Leishmania Infection in BALB/c mice

Mahdieh Azizi<sup>1</sup>, Roya Yousefi<sup>1</sup>, Farshid Yeganeh<sup>1</sup>, Mostafa Haji Molla Hoseini\*<sup>1</sup>

Department of Immunology, Faculty of Medicine, Shahid Beheshti University of Medical Sciences, Tehran, Iran

(Received: 2018/10/1      Accept: 2018/12/17)

## Abstract

**Background:** There are reports on the ability of chitin microparticles to modulate the TH1 and TH2 responses, depending on the size and administration route. The purpose of the present study was to investigate the immunoadjuvant effects of the small-sized (less than 40 microns) chitin microparticles (CMP) in vaccination against *Leishmania major* for preventing leishmaniasis in BALB/c mice by determining IgG1 and IgG2a.

**Methods:** BALB/c mice in test and control groups (6 mice per group), during 21 days were immunized subcutaneously three times with soluble *Leishmania* antigens (SLA) or SLA/CMP. Three weeks after the last immunization, blood sampling was performed and immunoglobulin isotype was determined using ELISA. Then  $2 \times 10^5$  *L. major* promastigotes were injected into the base of the tail of the mice. Next, onset and size of the lesions were measured in each group. In the eighth week, blood samples were obtained from the eye for evaluation of IgG1 and IgG2a level and then the mice were sacrificed and their lymph nodes were isolated to determine the parasitic burden using Limiting dilution assay (LDA).

**Results:** The SLA / CMP-immunized mice in compared to the non-immunization group, the onset of the wound were postponed and the parasitic load [ $(0.41 \pm 3.9)$  Vs.  $0.82 \pm 5.8$  Log (Parasites per lymph node)] ( $P \leq 0.05$ ) and the extended area of the wound ( $P \leq 0.007$ ) were significantly decreased. The results of the serum IgG1 and IgG2a assay showed that immunization by chitin microparticles caused significant decrease in the serum IgG1 level before ( $P \leq 0.001$ ) and after ( $P \leq 0.014$ ) the challenge but not IgG2a.

**Conclusion:** Co-administration of CMP/SLA cause significant inhibition of IgG1 responses. It seems that CMP could downregulate unbridled TH2 response in *Leishmania* infection.

**Keywords:** Chitin microparticles; *Leishmania major*; Immunoadjuvant

\*Corresponding author: Mostafa Haji Molla Hoseini  
Email: hajimolahoseini@yahoo.com

## بررسی تاثیر ایمونوادجواناتی میکروپارتیکل‌های کیتین بر میزان IgG1 و IgG2a سرمی در ایمونیزاسیون موش‌های BALB/c علیه عفونت لیشمانیا مازور

مهدیه عزیزی<sup>\*</sup>، رویا یوسفی<sup>\*</sup>، فرشید یگانه<sup>\*</sup>، مصطفی حاجی ملاحسینی<sup>\*</sup>

گروه ایمونولوژی، دانشکده پزشکی، دانشگاه علوم پزشکی شهید بهشتی، تهران، ایران

تاریخ دریافت مقاله: ۱۳۹۷/۰۷/۰۶  
تاریخ پذیرش مقاله: ۱۳۹۷/۰۹/۲۶

### چکیده:

**سابقه و هدف:** گزارش‌هایی درباره قابلیت میکروپارتیکل‌های کیتین در تعدیل پاسخ‌های TH1 و TH2 با توجه به اندازه ذرات و مسیر تجویز آن وجود دارد. هدف از انجام این مطالعه بررسی آثار ایمونوادجواناتی میکروپارتیکل‌های کیتین با اندازه کمتر از ۴۰ میکرون به عنوان ادجوانات در واکسیناسیون علیه لیشمانیا مازور برای پیشگیری از بیماری لیشمانیازیس در موش‌های BALB/c با سنجش IgG1 (نماد TH1) و IgG2a (نماد TH2).

**مواد و روش‌ها:** در این مطالعه تجربی گروه‌های مختلف اعم از تست و گواه که هر گروه شامل شش سر از موش‌های BALB/c بود، به شیوه زیر جلدی سه مرتبه با فاصله ۲۱ روز با لایزیت انگل یا مخلوط لایزیت و میکروپارتیکل کیتین ایمونیزاسیون شدند. سه هفته بعد از آخرین ایمونیزاسیون، بررسی نتیجه ایمونیزاسیون و تعیین ایزووتایپ ایمونوگلوبولینی با استفاده از خون گیری از چشم و آزمایش الایزا نتیجه ایستایی انگل به قاعده دم موش‌ها تزریق شد و بعد در مدت هشت هفته زمان بروز خضم و وسعت آن تحت نظر قرار گرفته شد. در پایان هفته هشتم مجدد خون گیری از چشم برای سنجش IgG1 و IgG2a انجام شد، سپس موش‌ها فریبانی شدند و غدد لمفاوی آن‌ها جهت تعیین بار انگلی به روش میکروپیتراسیون (LDA) جدا شد.

**یافته‌ها:** در موش‌های گروه ایمونیزه شده با لایزیت انگل و میکروپارتیکل‌های کیتین در مقایسه با گروه غیرایمونیزه زمان شروع خضم پس از چالش با انگل به تعویق افتاده بود و همچنین وسعت خزم ایجاد شده ( $P \leq 0.007$ ) و میزان بار انگلی ( $P \leq 0.05$ ) و  $\text{Log}(\text{Parasites per lymph node})$  ( $P \leq 0.001$ ) به صورت  $3.9 \pm 0.41$  Vs.  $5.8 \pm 0.82$  به روش  $IgG1$  کاهش یافته بود. نتیجه سنجش  $IgG1$  و  $IgG2a$  سرمی نشان داد که ایمونیزاسیون با میکروپارتیکل‌های کیتین زمینه ساز کاهش معنادار سطح سرمی  $IgG1$  و  $IgG2a$  ( $P \leq 0.014$ ) از چالش شده ولی بر میزان سرمی  $IgG2a$  اثرگذار نبوده است.

**نتیجه‌گیری:** در ایمونیزاسیون با میکروپارتیکل‌های کیتین به همراه لایزیت انگل پاسخ‌های  $IgG1$  به صورت معنادار مهار شده بود، به این سبب به نظر می‌رسد میکروپارتیکل‌های کیتین قادر به فروتنظیمی پاسخ‌های آسیب‌زای TH2 ایجاد شده در عفونت لیشمانیا هستند.

**وازگان کلیدی:** میکروپارتیکل‌های کیتین، لیشمانیا مازور، ادجوانات

### مقدمه:

موسسه غذا و داروی آمریکا (FDA) تایید شده است. بنابراین ابداع واکسن‌های جدید، همچنان که نیازمند شناخت آنتی‌ژن‌های حفاظتی است، به توسعه ادجوانتها نیز وابسته است(۱).

در حال حاضر عفونت انگل لیشمانیا معلضی برای بهداشت جهانی محسوب می‌شود و به ویژه نوع جلدی آن در برخی از نقاط کشور ماسایع است. متاسفانه با وجود تلاش‌های بسیار، در حال حاضر واکسن موثر پیشگیری کننده‌ای نیز برای این

تولید واکسن موثر با هزینه پایین، یکی از اولویتهای سازمان بهداشت جهانی است. علاوه بر آنتی‌ژن حفاظتی که جزو اصلی واکسن است، ادجوانتها همواره یکی از اجزای مهم در فرمولاسیون واکسن محسوب می‌شوند. نزدیک به یک قرن، توسعه ادجوانتها باید مصارف انسانی داشته باشند، پیشرفت چندانی نداشته و همچنان آلوم شناخته شده‌ترین ادجوانی است که برای مصارف انسانی از سویت

نویسنده مسئول: مصطفی حاجی ملاحسینی

hajimolahoseini@yahoo.com

پست الکترونیک: m.mollahoseini@sbmu.ac.ir

ایستایی) سه بار همراه با PBS+5mM EDTA استریل (چهار درجه سانتی گراد pH=7.4) در دور rcf ۴۰۰ به مدت ۳۰-۲۰ دقیقه و در دمای چهار درجه سانتی گراد شست و شو داده شد. بعد از آخرین مرحله شست و شو، مایع رویی دور ریخته شد، یک میلی‌لیتر از PBS+5mM EDTA سرد و استریل روی پلت ریخته و به کرایوتیپ انتقال داده شد. در مرحله بعد برای تهیه انگل کشته شده حدود ده بار از ذوب (دمای اتاق) و انجام‌دهای (تانک ازت) متواال استفاده شد. بعد از فرآیند ذوب و فریز محتويات کرایوتیپ به میکروپارتیکل منتقل و از آن لام گرفته شد و از لحاظ میکروسکوپی، سوسپانسیون بررسی شد و عدم حضور انگل زنده یا پیکره کامل انگل تایید شد که تاییدی بر کشته شدن کامل انگل بود. بعد از این مرحله سوسپانسیون سه بار به مدت ۲۰ ثانیه سونیک شد و سپس میکروپارتیکل به مدت ۱۵ دقیقه در دور rpm ۱۲۰۰۰ و دمای چهار درجه سانتی گراد سانتریفیوژ شد و در نهایت پس از سانتریفیوژ در زیر هود بیولوژیک، مایع رویی میکروپارتیکل که حاوی پروتئین‌های محلول انگل بود با کمک سرنگ برداشته شد و با رد کردن از فیلترهای ۰،۲۲ میکرون استریل شد. تعیین غلظت لایزیت به روش برادرور انجام شد (۲۲) و لایزیت انگل به دست آمده در حجم‌های مورد نظر تقسیم شد و به فریزر -۲۰ و یا -۷۰ درجه سانتی گراد منتقل شد.

#### تهیه میکروپارتیکل‌های با سایز کمتر از ۴۰ میکرون کیتین:

از پودر کیتین(C-7170, Sigma Chemical Co. St. Louis, MO) یک سوسپانسیون ۱۰ mg/ml در آب مقطر تهیه شد. سوسپانسیون تهیه شده به مدت دو ساعت با سونیکاتور، سونیکه شد(دامنه نوسان دستگاه روی ۹۰ درصد و دوره گردش آن روی یک تنظیم شود). سپس سوسپانسیون سونیکه شده به ترتیب از سه مش ۷۰-۴۰ و ۱۰۰ میکرونی عبور داده شد. بعد از این مرحله سوسپانسیون حاوی ذرات کیتین زیر ۴۰ میکرون با دور 3000 rcf ۱۲۰۰۰ rpm سانتریفیوژ شده و محلول رویی تا حد امکان خارج شد (۲۳). برای حذف LPS از میکروپارتیکل‌های کیتین با مهار تولید IL-12 و IL-18 از سلول‌های NK و TH1 و کاهش پاسخ‌های TH2 با نظر می‌رسد این میکروپارتیکل‌ها علاوه بر توانایی القای پاسخهای ایمنی نوع یک از پاسخهای افسار گیخیته سیستم ایمنی نیز جلوگیری می‌کنند. مطالعه‌های اخیر ما نشان داده‌اند میکروپارتیکل‌های کیتین با اندازه کمتر از ۴۰ میکرون می‌توانند در شرایط آزمایشگاهی پاسخ‌های ضد لیشمینایی ماکروفاگ‌های صفاقی موش علیه لیشمینایی را تشدید کنند (۲۴) و سبب افزایش پاسخهای TH1 تاکم با تولید IL-10 و بهبود زخم‌های لیشمیناییس جلدی در موشهای c BALB/c آلوید به انگل لیشمینایی مازور شوند (۲۵,۱۶) و همچنین قادر به القای ترشح سایتوکاینیهای IFN $\gamma$ , TNF $\alpha$  و IL-10 از سوسپانسیون سلولی غدد لنفی موشهای آلوید به انگل لیشمینایی هستند (۲۶). از طرفی برخی از مطالعه‌ها گزارش کرده‌اند که سایتوکاین‌های مرتبط با TH1/TH2 ایزوتاپ ایمونوگلوبولینی را که در پاسخ به میکروگانیسم‌ها القای شوند؛ کنترل می‌کنند (۱۷)، بنابراین در مدل‌های موشی نیز سنجش میزان IgG1 (نماد TH2) و IgG2a (نماد TH1) (۱۸) و IgG2c (نماد TH1) (۱۹) می‌تواند نشان‌دهنده نوع پاسخ ایمونوگلوبولیک ایجاد شده و موثر بودن درمان یا واکسن باشد (۲۰,۲۱). به طور کلی هدف از انجام تحقیق حاضر بررسی اثمار ایمونوادجوانی میکروپارتیکل‌های کیتین در واکسیناسیون علیه بیماری لیشمیناییس با تعیین ایزوتاپ ایمنی بادی بود.

#### ایمونیزاسیون و چالش

برای انجام فرآیند واکسیناسیون موش‌ها به صورت تصادفی به چهار گروه تقسیم شدند، که هر گروه شامل شش سر موش بود.

- (۱) موش‌های گروه اول به عنوان گروه کنترل تهیه برای داشتن استرس ناشی از تزریق، ۱۰۰ میکرولیتر PBS استریل دریافت کردند.
- (۲) موش‌های گروه دوم ۱۰۰ میکرولیتر از آنتی زن محلول انگل (SLA) را بدون ادجوانت به عنوان واکسن دریافت کردند.
- (۳) موش‌های گروه سوم ۱۰۰ میکروگرم در ۱۰۰ میکرولیتر از آنتی زن محلول کیتین با اندازه کمتر از ۴۰ میکرون (ادجوانت مطالعه) را دریافت کردند.
- (۴) موش‌های گروه چهارم ۱۰۰ میکروگرم در ۱۰۰ میکرولیتر از آنتی زن محلول انگل (SLA) را به همراه ۱۰۰ میکروگرم در ۱۰۰ میکرولیتر از میکروپارتیکل‌های کیتین (ادجوانت مورد مطالعه) به عنوان واکسن دریافت کردند.

#### مواد و روش‌ها:

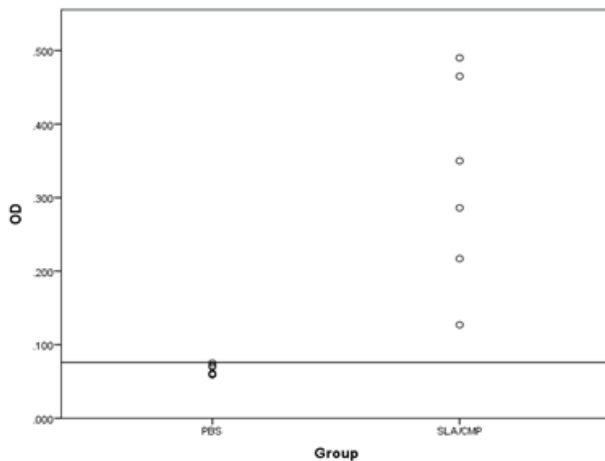
تحقیق به روش تجربی انجام شد. جمعیت مورد مطالعه، موش‌های c BALB/c ماده با سن چهار تا شش هفته بودند که پس از خریداری از انسنیتوپاستور کرج و سازگاری با مکان نگهداری، در شرایط نوری ۱۲ ساعت نور، ۱۲ ساعت تاریکی در درجه حرارت ۲۲ درجه سانتی گراد و رطوبت مناسب، در حالی که امکان دسترسی به آب و غذا برای آن‌ها فراهم بود، در اتاق حیوانات گروه ایمونوگلوبولینی نگهداری شدند و تمام آزمایش‌ها براساس مصوبه شورای نگهداری از حیوانات دانشگاه شهید بهشتی تهران انجام شده‌اند.

**تهیه لایزیت انگل (Soluble Leishmania Antigen):** ابتدا سوسپانسیون حاوی انگل‌هایی که در فاز عفونت‌زاپی قرار داشتند (مرحله

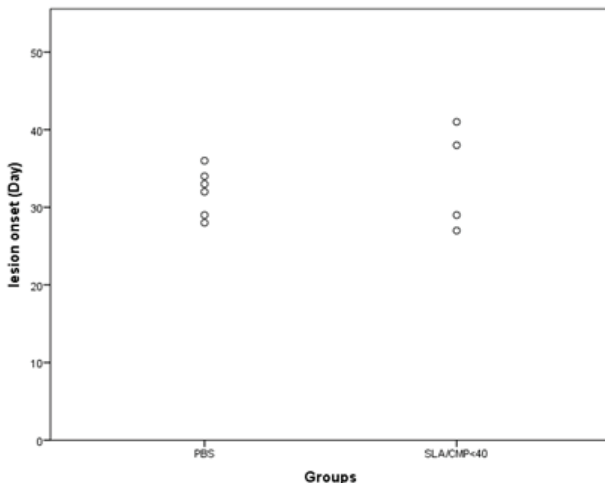
SLA/CMP و گروه کنترل از آزمون آماری U-Mann-Whitnet استفاده شد و  $P \leq 0.05$  مبنای معناداری آماری در نظر گرفته شد.

#### نتایج:

۱- (۳) نتایج بررسی شروع زخم، قطر زخم و بار انگلی در دو گروه تست و گواه بعد از انجام آخرین ایمونیزاسیون خون‌گیری از چشم موش‌ها انجام شد و میزان IgG Total اختصاصی آنتی‌زن انگل در آن‌ها سنجیده شد و مشاهده شد که گروه‌های مختلف با تولید IgG اختصاصی در مقابل SLA تزریقی هنگام ایمونیزاسیون ایمونیزه شده‌اند، در صورتی که گروه PBS که آنتی‌زن را دریافت نکرده است، آنتی‌بادی اختصاصی ضد آنتی‌زن انگل تولید نکرده است (نمودار ۳-۱ الف). بعد از مرحله چالش موش‌های گروه‌های مختلف از نظر زمان بروز زخم به صورت روزانه کنترل شدند. میانگین روزهای شروع زخم در گروه‌های مختلف متفاوت بود اما ارتباط آماری معناداری بین آن‌ها یافت نشد ( $P=0.24$ ). مقایسه نتایج گروه تست ۳-۱ (SLA/CMP<40 $\mu\text{m}$ ) در مقایسه با گروه شاهد غیر ایمونیزه (PBS) در نمودار ۳-۱ به تصویر کشیده شده است.



نمودار ۳-۱ الف: میزان IgG Total ضد انگل لیشمانیا تولید شده در موش‌های مورد مطالعه: موش‌های گروه تست پس از دریافت لایزیت انگل لیشمانیا در مقابل این انگل با تولید G اختصاصی ایمونیزه شده‌اند.



نمودار ۳-۱ ب: زمان شروع زخم در گروه‌های مختلف: شروع زخم در موش‌های گروه ایمونیزه شده در مقایسه با گروه غیر ایمونیزه دیرتر آغاز شده است، در دو موش از گروه ایمونیزه شده زخمی ایجاد نشده بود.

اندازه‌گیری سایز زخم بعد از بروز زخم به صورت هفتگی انجام شد. در تعدادی از

ایمونیزاسیون در سه مرحله با فواصل زمانی سه هفته اجرا شد و تزریق‌ها به صورت زیر جلدی (SC) در قاعده دم موش‌ها انجام شد. سه هفته بعد از آخرین ایمونیزاسیون خون‌گیری از چشم موش‌ها برای بررسی ایمونیزه شدن آن‌ها در پاسخ به واکسیناسیون و بررسی ازوتاپ ایمونوگلوبولینی انجام شد و میزان IgG total ضد آنتی‌زن لیشمانیا، IgG1 و IgG2a در سرم آن‌ها سنجیده شد. بعد از این مرحله برای چالش  $2 \times 10^5$  پروماستیگوت انگل لیشمانیا مازور سویه (MRHO/IR/75/ER) که در فاز ایستایی قرار داشتند به صورت زیر جلدی در قاعده دم موش‌های هر چهار گروه تزریق شد و سپس گروه‌ها به مدت هشت هفته از نظر بروز زخم بررسی شدند که بعد از آشکار شدن زخم در موش‌ها اندازه زخم‌ها هر هفته با کولیس ورنه اندازه‌گیری شد، در پایان هفته هشتم مجدد خون‌گیری از چشم برای بررسی میزان IgG1 و IgG2a سرمی انجام شد و موش‌ها با روش استفاده از CO2 قربانی شدند؛ سپس غدد لنفاوی آن‌ها برای بررسی بار انگلی جدا شد.

#### تایید ایمونیزاسیون و بررسی میزان IgG1 و IgG2a

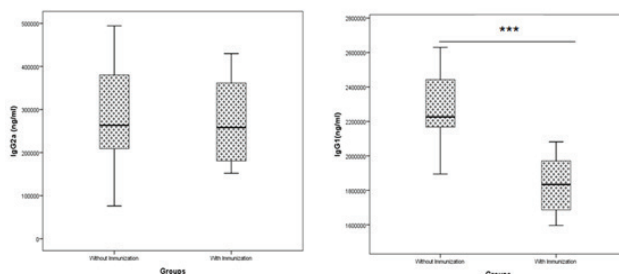
برای تایید ایمونیزاسیون سنجش کیفی حضور IgG total علیه لایزیت انگل به روش الایزا در حضور کنترل مثبت و منفی انجام شد. به اختصار اینکه ابتدا پلیت الایزا (SPL life science, Korea) با ۱۰۰ میکرولیتر از آنتی‌زن‌های محلول انگل لیشمانیا (SLA) در غلظت  $10 \mu\text{g/ml}$  ۱۰ کوت شد. پس از بلاک کردن ۱۰۰ میکرولیتر نمونه سرم با رقت یک به ۱۰۰ به هر چاهک اضافه شد و بعد از پایان زمان انکوباسیون و شستشو آنزیم کوتزوه (HRP-HRP conjugated goat anti-mouse secondary antibody, sigma, USA) ۲۰ هزار ریخته شد و در نهایت از سوسترا TMB (pishtazteb, Iran) استفاده و خوانش جذب نوری در طول موج ۴۵۰ نانومتر با استفاده از الایزا ریدر (Anthos, Austria) انجام شد. در قیاس با نمونه کنترل مثبت (سرم موش الوده) و کنترل اندازه زخم شد. در نهایت از سرمهای سنجش شدند. برای سنجش (Mouse IgG1 ELISA Redy-SET, IgG2a eBioscience, Austria) مطابق دستورالعمل کیت استفاده شد. حساسیت این کیت‌ها به ترتیب  $3/13$  و  $3/90$  نانوگرم بر میلی‌لیتر بود.

#### سنجهش بار انگلی

تعیین بار انگلی به روش تهیه رقت‌های متوازن مطابق با گزارش قبلی ما انجام شد (۱۵)، به اختصار اینکه موش‌های مورد مطالعه در پایان هفته هشتم پس از چالش قربانی شدند، عدد لمفی اینگوئینال (به دلیل تزریق در قاعده دم) آن‌ها در شرایط استریل خارج شد و از آن‌ها سوسپانسیون سلولی تهیه شد. تعداد سلول‌های زنده بر حسب  $n \times 10^6 \text{ cell/ml}$  مشخص و حجم سوسپانسیون سلولی با استفاده از محیط کشت سلولی به دو میلی‌لیتر رسانده شد و به داخل یک میکروتیوب ۲ml منتقل شد. سپس رقیق سازی ۱۰ (10-Fold) سوسپانسیون سلولی هر یک از موش‌ها به طور جداگانه در ۱۲ میکروتیوب به ترتیب انجام شد و پلیت ۹۶ خانه برای توزیع هشت تکرار از هریک از رقت‌ها استفاده شد؛ به این ترتیب میزان ۲۰۰ میکرولیتر از هر سوسپانسیون به صورت هشت تایی به هر پلیت اضافه شد، به طوری که هر ستون در پلیت مربوط به یک رقت بود. بعد از ریختن سوسپانسیون در سوسپانسیون در چاهکها، در پلیت را بسته، اطراف آن را پارافیلم کشیده و در داخل انکوباتور ۲۴ درجه، به مدت حداقل هفت روز نگهداری کرده و بعد از گذشت سه روز پلیت برای کنترل از انکوباتور خارج شد و زیر میکروسکوپ معکوس از نظر حضور پروماستیگوت‌های زنده انگل و همچنین الودگی بررسی شد. پس از هفت روز پلیت برای ثبت اطلاعات بازبینی شد و آنالیز نتایج با LDA نرم افزار انجام شد. (۲۵)

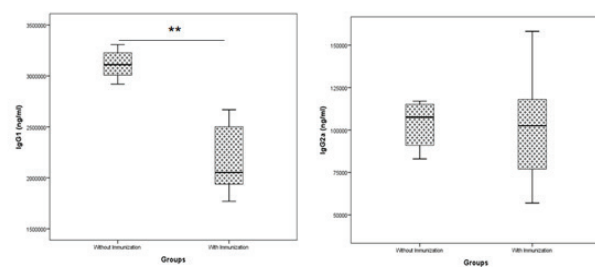
#### روش تجزیه و تحلیل آماری:

برای انجام محاسبه‌های آماری و رسم نمودارها از نرم‌افزار Graph pad prism 7.04 و SPSS 21 استفاده شد. ابتدا برای تعیین نرمال و غیرنرمال بودن نمونه از نظر متغیر مورد نظر از آزمون Shapiro-Wilk به عنوان آزمون آماری مناسب استفاده شد. سپس برای مقایسه بار انگلی، زمان شروع زخم، قطر زخم و میزان IgG1 و IgG2a بین دو گروه در یافته کننده



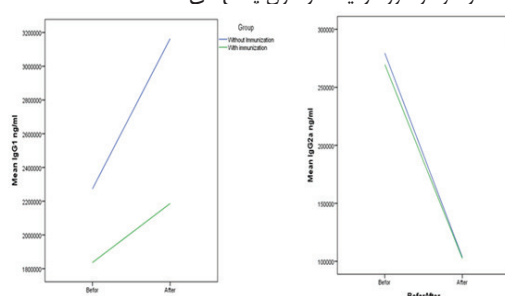
نمودار-۲-۳الف : مقادیر سرمی IgG1 و IgG2a موش های BALB/c در گروه های تست و گواه . در گروه کنترل که شامل موش های ایمونیزه نشده بود نسبت / IgG1 / IgG2a معادل ۷/۶۲ برآورد شد در حالی که در گروه واکسینه این نسبت به ۶/۸۰ تقلیل یافته بود.

پس از گذشت هشت هفته از عفونت انگل لیشمانیا مشاهده شد که موش های ایمونیزه شده به صورت معناداری ( $P \leq 0.014$ ) میزان کمتری IgG1 دارند و گرایش به پاسخ TH2 مهار شده بود؛ اگرچه پاسخ TH1 تقویت نشده بود و میزان IgG2a در گروه تست و گواه تفاوت معنادار نداشتند(نمودار-۲-۳ب).



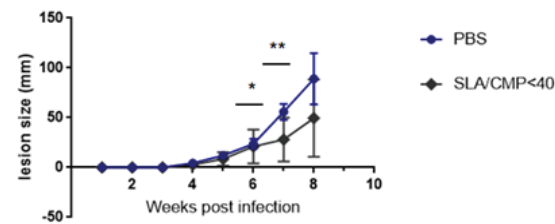
نمودار-۲-۳ب : مقایسه مقادیر سرمی IgG1 و IgG2a موش های آلوهه واکسینه و غیر واکسینه . در موش های ایمونیزه شده مقدار IgG1 در هفت هشت پس از عفونت به طور متوسط  $171 \pm 218$  میکروگرم در میلی لیتر بود حال آنکه در موش های فاقد مصوبنیت عبور آورده است ( $P \leq 0.014$ ). از نظر مقادیر سرمی IgG2a متعاقباً در موش های تست و کنترل دیده نشد ( $\Delta \pm SE$ ).

مقایسه IgG1 و IgG2a در گروه های تست و شاهد قبل و بعد از چالش در نمودار ۲-۳ج به تصویر کشیده شده است و نشان می دهد که علاوه بر اینکه موش های ایمونیزه شده پیش از عفونت پاسخ های TH2 ضعیفتری دارند پس از چالش هم روند سیر صعودی افزایش IgG1 نسبت به گروه کنترل کمتر بوده است اما از نظر وضعیت پاسخ TH1 قبل و بعد از چالش تفاوتی در گروه های تست و کنترل وجود ندارد؛ به این معنا که عفونت در هر دو گروه زمینه ساز افول پاسخ های TH1 شده است.



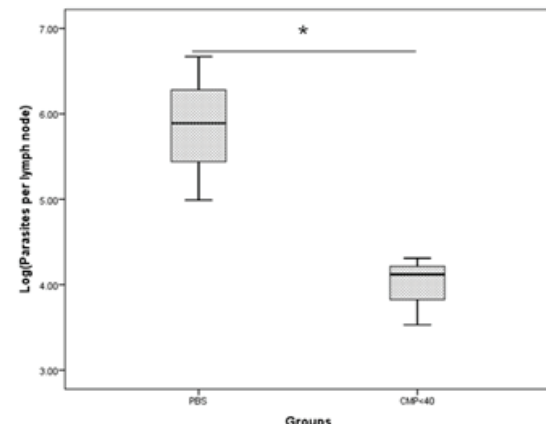
نمودار-۲-۳ج: مقایسه روند پاسخ های مولد IgG1 و IgG2a در موش های ایمونیزه و غیر ایمونیزه پس از عفونت با انگل لیشمانیا: ایمونیزاسیون مانع از روند صعودی پاسخ های مولد IgG1 (نماد TH2) می شود، ولی باعث گرایش پاسخ به طرف (نماد TH1) IgG2a نمی شود.

موس های گروه تست تا پایان هفته هشتم زخمی ایجاد نشد. به گونه ای که نسبت زخم به نبود زخم در گروه تست چهار ب دو ولی در گروه کنترل غیر ایمونیزه در هر شش سر موش زخم ایجاد شده بود. سایز زخم موش های گروه های مختلف (بدون در نظر گرفتن موش هایی که در آن ها زخم ایجاد نشده بود) در پایان هر هفته با هم مقایسه شد که در پایان هفته شش ( $P \leq 0.045$ ) و هفته هفت ( $P \leq 0.007$ ) از لحاظ آماری تفاوت در بین گروه های تست و گواه دیده شد. نمودار ۱-۳ج تفاوت قطر زخم در گروه تست و گواه را نشان می دهد.



نمودار-۳-ج: اندازه قطر زخم بعد از چالش به همراه انگل لیشمانیا مازور در گروه های مورد مطالعه: بعد از انجام مرحله چالش میانگین قطر زخم در موش های گروه های تست و گواه پس از بروز زخم، به مدت هشت هفته اندازه گیری شد.

نتایج سنجش بار انگلی نشان داد که میزان بار انگلی در موش های گروه های دریافت کننده SLA/CMP نسبت به سایر گروه های از جمله گروه گواه کاهش معناداری داشته است. در سلول های غده لمفی موش های گروه میانگین بار SLA/CMP میانگین بار انگلی معادل [ $3.9 \pm 0.41$  Log(Parasites per lymph node)] بود که در مقایسه با میانگین بار انگلی در گروه PBS [ $5.8 \pm 0.82$  Log(Parasites per lymph node)] را نشان داد (تصویر ۳-۱د).



نمودار-۳-۱د: اندازه بار انگلی در موش های گروه های مختلف: میانگین بار انگلی در سلول های غده لمفی موش های گروه ایمونیزه SLA/CMP در مقایسه با گروه غیر ایمونیزه کاهش یافته است و از نظر آماری معنادار است ( $P \leq 0.05$ ).

نمودار-۳-۲: مقایسه میزان سرمی IgG1 و IgG2a در گروه های تست و گواه (نماد TH2) پس از ایمونیزاسیون در مرحله قبل از چالش با انگل مقدار IgG2a سرمی (نماد الگوی پاسخ TH1) در گروه ایمونیزه با غیر ایمونیزه تفاوت آماری و کلینیکی نداشت ( $37 \pm 297$  میکروگرم در میلی لیتر در گروه واکسینه نشده در مقابل  $28 \pm 269$  در گروه واکسینه)، اما در مقدار سرمی IgG1 (نماد پاسخ TH2) کاهش معنادار ( $P \leq 0.001$ ) در گروه واکسینه دیده شد(نمودار ۲-۳ن).

**بحث:**

سرمی IgG2a اثرگذار نبوده است. به عبارتی این روش ایمونیزاسیون همراه کیتین، گرایش پاسخ به طرف TH2 را در موش‌های c BALB نسبت به گروه شاهد مهار کرده است (تصویر ۲-۳الف). اگرچه زمینه‌ساز پیشبرد پاسخ‌های مبتنی بر افزایش تولید IgG2a نشده است (تصویر ۲-۳الف). اندازه‌گیری زیرکلاس‌های مذبور پس از چالش با انگل لیشمانا نیافول پاسخ‌های TH1 را به دنبال دارد (۳۱) و نتایج سنجش عفونت با انگل لیشمانا نیافول پاسخ‌های IgG2a سرمی در این تحقیق نیز این موضوع را تایید کرد اما در عین حال نتایج ما بیانگر این است که در اثر ایمونیزاسیون با میکروپاراتیکل‌های کیتین به همراه لاپزیت دیگری این است که در اثر ایمونیزاسیون با میکروپاراتیکل‌های کیتین به همراه میکروپاراتیکل‌های ایمومونیزه ایجاد شده و میزان بار انگلی غده لمفی در مقایسه با گروه غیرایمومونیزه کاهش داشته است و متوسط روز شروع ضایعات در گروه دریافت‌کننده ادجوانت کیتین افزایش یافته است که این یافته‌ها در تطبیق با نتایج مطالعه‌های پیشین بود که از میکروپاراتیکل‌های کیتین به عنوان تعديل‌کننده ایمنی (Immunomodulator) در موش‌های c آمود شده به انگل لیشمانا مائزور استفاده شده بود و نتایج آن‌ها نشان داد در گروه تیمار شده با میکروپاراتیکل‌های کیتین میزان بار انگلی و قطر زخم نسبت به گروه تیمار نشده کاهش و همچنین متوسط روز شروع زخم نیز در گروه تیمار شده افزایش یافته بود که نشانه بروز دیرتر زخم بود (۱۵, ۱۶).

از طرفی مطالعه‌های انجام شده ما در زمینه لیشمانا و میکروپاراتیکل‌های کیتین نشان می‌دهد که تزریق زیرجلدی میکروپاراتیکل‌های کیتین زیر ۴۰ میکرون در غلطات متوسط ۱۰۰ $\mu\text{g}/\text{ml}$  تواند پاسخ‌های ایمنی TH2 را در لیشمانا زود جلدی مهار کند. Koller و همکارانش در تحقیقی کراتینوسیست‌ها را به همراه میکروپاراتیکل‌های کیتین انکوبه کردن و نشان دادند که مواجهه کیتین با کراتینوسیست‌ها سبب القای ترشح سایتوکاین‌ها و کموکاین‌ها التهابی توسعه این سلول‌ها می‌شود و همچنین بیان TLR-4 را در آن‌ها افزایش می‌دهد؛ بنابراین برخورد با کیتین می‌تواند پاسخ‌های ایمنی ذاتی را در پوست تنظیم کند و موجب فراخوانی سایر سلول‌های ایمنی ذاتی در پاسخ به عفونت‌های جلدی شود (۳۴). به نظر می‌رسد تزریق زیرجلدی کیتین و مواجهه آن با کراتینوسیست‌ها به القای پاسخ‌های ایمنی ذاتی منجر می‌شود که پیشنهاد می‌شود این موضوع در مدل عفونت لیشمانا بررسی شود. اگرچه شناخت اثار ایمونوادجوانتی کیتین نیازمند مطالعه‌های بیشتر است، در مجموع به نظر می‌رسد CMP به عنوان یک کربوهیدرات با تحریک لکتین‌های مختلف زمینه‌ساز تحریک ایمنی ذاتی شده و به عنوان یک ادجوانت می‌تواند در عفونت لیشمانا مائزور مورد توجه قرار گیرد. در انتهای پیشنهاد می‌شود تاثیر میکروپاراتیکل‌های کیتین به عنوان ادجوانت در روش‌های مختلف واکسیناسیون ضد لیشمانا استفاده شود.

در این تحقیق در ادامه تحقیقات قبلی از میکروپاراتیکل‌های کیتین کوچک‌تر از ۴۰ میکرون در تعديل پاسخ‌های ضد لیشمانا استفاده شد، با این تفاوت که این بار کیتین به عنوان ادجوانت به همراه لاپزیت انگل لیشمانا به کار برد شد. یافته‌های این تحقیق نشان داد که در گروه ایمونیزه شده به همراه میکروپاراتیکل‌های کیتین قطر زخم ایجاد شده و میزان بار انگلی غده لمفی در مقایسه با گروه غیرایمومونیزه کاهش داشته است و متوسط روز شروع ضایعات در گروه دریافت‌کننده ادجوانت کیتین افزایش یافته است که این یافته‌ها در تطبیق با نتایج مطالعه‌های پیشین بود که از میکروپاراتیکل‌های کیتین به عنوان تعديل‌کننده ایمنی (Immunomodulator) در موش‌های c آمود شده به انگل لیشمانا مائزور استفاده شده بود و نتایج آن‌ها نشان داد در گروه تیمار شده با میکروپاراتیکل‌های کیتین میزان بار انگلی و قطر زخم نسبت به گروه تیمار نشده کاهش و همچنین متوسط روز شروع زخم نیز در گروه تیمار شده افزایش یافته بود که نشانه بروز دیرتر زخم بود (۱۵, ۱۶).

Hasegawa و همکارانش نیز در کاری مشابه به کار می‌آمدند که ایمینی از میکروپاراتیکل‌های کیتین با سایز ۲-۲۰ میکرون به عنوان ادجوانت در کتاب و اکسن غیر فعال آنفلوآنزا استفاده کردند و گزارش کردند که میزان بار و پرسوی در گروه دریافت‌کننده میکروپاراتیکل‌های کیتین در مقایسه با گروه کنترل کاهش داشته است و همچنین میزان ایمینی Anti-HA-IgG در مخاط و Anti-HA-IgA در سرم این گروه افزایش یافته است (۲۶)، در لیشمانا زیز به دلیل القای پاسخ‌های ایمینی TH2 بیماری پیشرفت می‌کند؛ بنابراین شناخت و معرفی یک ادجوانت مناسب که پاسخ‌های ایمینی TH2 را مهار کند در واکسیناسیون علیه انگل لیشمانا لازم است (۲۷). مطالعه‌های متعددی نشان می‌دهد که میکروپاراتیکل‌های کیتین می‌توانند با درگیر کردن رسپتورهای ایمینی ذاتی، پاسخ‌های التهابی ایمینی ذاتی و سپس پاسخ‌های TH1 را فال کنند (۲۸-۳۰)؛ بنابراین می‌تواند به عنوان یک ادجوانت موثر در ایجاد پاسخ‌های ایمینی استفاده شوند. این تحقیق در راستای تحقیق‌های پیشین پیرامون اثر تعديل ایمینی میکروپاراتیکل‌های کیتین در تقویت پاسخ ضد لیشمانا انجام شد. نتایج تحقیق‌های پیشین ما نشان داده‌اند که میکروپاراتیکل‌های کیتین در شرایط برون‌تنی و درون‌تنی قادر به تعديل پاسخ‌های ضد لیشمانا هستند و به نظر می‌رسد میکروپاراتیکل‌های کیتین با سازوکار تحریک ترشح سایتوکاین‌های IFN- $\gamma$  و IL-10 به همراه TNF- $\alpha$  قادر به تعديل پاسخ‌های TH2 موثر بر آسیب‌زایی لیشمانا هستند (۱۶-۲۰). همان‌طور که پیش از این ذکر شد سایتوکاین‌های مرتبط با TH1/TH2 ایزووتایپ ایمونوكاپسینی که در پاسخ به میکروارگاپاکسیم‌ها القا می‌شوند را کنترل می‌کنند و به این ترتیب آنتی بادی‌ها نشان دهنده نوع پاسخ ایمنی ایجاد شده هستند. نتیجه سنجش نسبت IgG1 IgG2a سرمی نشان داد که ایمونیزاسیون با میکروپاراتیکل‌های کیتین زمینه‌ساز کاهش سطح سرمی شده، ولی بر میزان

**منابع:**

- Moradi M HMHM. Effect of chitin and chitosan microparticles on interferon- $\gamma$  and interleukine-5 production by leishmania infected lymph nodes cell suspensions of the Balb/c mice. Pejouhandeh 2015;20(5):240-248. 2015;021.
- Mutiso JM, Macharia JC, Gicheru MM. A review of adjuvants for vaccine candidates. 2010;24(1):16-25.
- Noazin S, Modabber F, Khamesipour A, Smith PG, Moulton LH, Nasser K, et al. First generation leishmaniasis vaccines: A review of field efficacy trials. Vaccine. 2008;26(52):6759-67.
- Armijos RX, Weigel MM, Aviles H, Maldonado R, Racines J. Field Trial of a Vaccine against New World Cutaneous Leishmaniasis in an At-Risk Child Population : Safety , Immunogenicity , and Efficacy

during the First 12 Months of Follow-Up. (V):1352-7.

- Momeni AZ, Jalayer T, Emamjomeh M, Khamesipour A, Zicker F, Labaf R, et al. A randomised , double-blind , controlled trial of a killed L . major vaccine plus BCG against zoonotic cutaneous leishmaniasis in Iran. 1998;17:466-72.
- Ngo DH, Kim SK. Antioxidant effects of chitin, chitosan, and their derivatives. 1st ed. Vol. 73, Advances in Food and Nutrition Research. Elsevier Inc.; 2014. 15-31 p.
- Da Silva CA, Hartl D, Liu W, Lee CG, Elias JA. TLR-2 and IL-17A in Chitin-Induced Macrophage Activation and Acute Inflammation. J Immunol. 2008;181(6):4279-86.
- Da Silva CA, Chalouni C, Williams A, Hartl D, Lee CG, Elias JA. Chitin Is a Size-Dependent Regulator of Macrophage TNF

- and IL-10 Production. *J Immunol.* 2009;182(6):3573–82.
9. Kogiso M, Nishiyama A, Shinohara T, Nakamura M, Dorey CK, Ruth Iu Iu, et al. Chitin particles induce size-dependent but carbohydrate-independent innate eosinophilia. 2011;90(July):167–76.
  10. Bueter CL, Lee CK, Rathinam VAK, Healy GJ, Taron CH, Specht CA, et al. Chitosan but Not Chitin Activates the Inflammasome by a Mechanism Dependent upon Phagocytosis \*. 2011;286(41):35447–55.
  11. Vautier S, Wagener J, Malireddi RKS, Lenardon MD, Ko M, MacCallum DM, et al. Fungal Chitin Dampens Inflammation through IL-10 Induction Mediated by NOD2 and TLR9 Activation. 2014;10(4).
  12. Komi D, Sharma L, Dela Cruz CS. Chitin and Its Effects on Inflammatory and Immune Responses. *Clin Rev Allergy Immunol.* 2017;54(2):1–11.
  13. Shibata Y, Foster LA, Bradfield JF, Myrvik QN. Oral Administration of Chitin Down-Regulates Serum IgE Levels and Lung Eosinophilia in the Allergic Mouse. 2015;
  14. Dehghani F, Molla H, Memarnejadian A, Yeganeh F. Immunomodulatory Activities of Chitin Microparticles on Leishmania major -infected Murine Macrophages. *Arch Med Res.* Elsevier Inc; 2011;42(7):572–6.
  15. Ghotloo S, Haji M, Hoseini M, Hossein M. Parasitology International Immunomodulatory effects of chitin microparticles on Leishmania major -infected BALB / c mice. *Parasitol Int.* Elsevier Ireland Ltd; 2015;64(2):219–21.
  16. Haji M, Hoseini M, Moradi M, Hossein M. Parasitology International Immunotherapeutic effects of chitin in comparison with chitosan against Leishmania major infection. *Parasitol Int.* Elsevier Ireland Ltd; 2016;65(2):99–104.
  17. Finkelman FD, Holmes J, Katona IM, Urban JF, Beckmann MP, Park LS, et al. Lymphokine Control of In Vivo Immunoglobulin Isotype Selection. *Annu Rev Immunol.* Annual Reviews; 1990 Apr 1;8(1):303–33.
  18. Dobakhti F, Naghibi T, Taghikhani M, Ajdary S, Rafinejad A, Bayati K, et al. Adjuvanticity effect of sodium alginate on subcutaneously injected BCG in BALB/c mice. *Microbes Infect.* Elsevier Masson SAS; 2009;11(2):296–301.
  19. Haile M, Schröder U, Hamasur B, Pawlowski A, Jaxmar T, Källenius G, et al. Immunization with heat-killed *Mycobacterium bovis* bacille Calmette-Guerin (BCG) in EurocineTM L3 adjuvant protects against tuberculosis. *Vaccine.* 2004;22(11–12):1498–508.
  20. Tafaghodi, M.1, Eskandari, M.1, Kharazizadeh, M.1, Khamesipour, A.2 and Jaafari MR 3. Immunization against leishmaniasis by PLGA nanospheres loaded with an experimental autoclaved *Leishmania major* ( ALM ) and Quillaja saponins. *Development.* 2010;27(3):639–50.
  21. Soudi S, Hosseini AZ, Hashemi SM. Co-administration of rectal BCG and autoclaved *Leishmania major* induce protection in susceptible BALB/c mice. *Parasite Immunol.* 2011;33(10):561–71.
  22. Dobakhti F, Khalili G, Niknam HM, Khaze V, Mahmoodabadi TN, Aalinejad S. Role of imiquimod as adjuvant for vaccination against *Leishmania major* infection in BALB / c mice. 2013;1(69):27–35.
  23. Shibata Y, Foster LANN, Metzger WJ, Myrvik QN, Enterprises M, Carolina N. Alveolar Macrophage Priming by Intravenous Administration of Chitin Particles , Polymers of N -Acetyl- D -Glucosamine , in Mice. 1997;65(5):1734–41.
  24. Nayak B, Parida PK, Routa P, Ray P, Panda AK, Ray AR, et al. Chitosan micro and nanoparticles for delivery of drugs and therapeutic proteins.
  25. Kropf P, Kadolsky UD, Rogers M, Cloke TE, Müller I. The leishmaniasis model. *Methods Microbiol.* 2010;37(C):307–28.
  26. Roy RM, Wuthrich M, Klein BS. Chitin Elicits CCL2 from Airway Epithelial Cells and Induces CCR2-Dependent Innate Allergic Inflammation in the Lung. *J Immunol.* 2012;189(5):2545–52.
  27. Reed SG, Coler RN, Mondal D, Kamhawi S, Valenzuela JG. Leishmania vaccine development: Exploiting the host-vector-parasite interface. *Expert Rev Vaccines.* 2016;15(1):81–90.
  28. Shibata Y, Foster LA, Bradfield JF, Myrvik QN. Oral Administration of Chitin Down-Regulates Serum IgE Levels and Lung Eosinophilia in the Allergic Mouse. 2017;
  29. Strong P, Clark H, Reid K. Intranasal application of chitin microparticles down-regulates symptoms of allergic hypersensitivity to *Dermatophagoides pteronyssinus* and *Aspergillus fumigatus* in murine models of allergy. *Clin Exp Allergy.* 2002;32(12):1794–800.
  30. Elieh Ali Komi D, Sharma L, Dela Cruz CS. Chitin and Its Effects on Inflammatory and Immune Responses. *Clin Rev Allergy Immunol.* Clinical Reviews in Allergy & Immunology; 2017;
  31. Sacks D, Noben-Trauth N. The immunology of susceptibility and resistance to *Leishmania major* in mice. *Nat Rev Immunol.* Nature Publishing Group; 2002 Nov 1;2:845.
  32. Rostami N. Immune response of BALB / c mice against an experimental vaccine of Alum precipitated autoclaved *Leishmania major* ( Alum-ALM ) mixed with BCG or *Mycobacterium vaccae*. 2010;27(1):89–102.
  33. Danesh-Bahreini MA, Shokri J, Samiei A, Kamali-Sarvestani E, Barzegar-Jalali M, Mohammadi-Samani S. Nanovaccine for leishmaniasis: preparation of chitosan nanoparticles containing *Leishmania* superoxide dismutase and evaluation of its immunogenicity in BALB/c mice. *Int J Nanomedicine.* 2011;6:835–42.
  34. Koller B, Müller-Wiefel AS, Rupec R, Korting HC, Ruzicka T. Chitin modulates innate immune responses of keratinocytes. *PLoS One.* 2011;6(2):1–7.